

## ГЛАДКОСТЬ ДЕТОНАЦИОННОГО ФРОНТА В ЖИДКОМ ВЗРЫВЧАТОМ ВЕЩЕСТВЕ

Я. Б. Зельдович, С. Б. Кормер,  
Г. В. Кришкевич, К. Б. Юшко  
(Москва)

Теоретически рассмотрена [1—3] и экспериментально выявлена (в газах [4]) неустойчивость одномерного режима [5] детонационной волны. Поверхность фронта является негладкой из-за наличия локальных очагов химической реакции.

В некоторых жидкых прозрачных ВВ (ЖВВ) микроструктура детонационной волны обнаружена [6, 7] путем фотографирования ее собственного свечения. Минимальный размер неоднородностей, зарегистрированный в [7],  $\sim 1 \text{ мкм}$  (на пределе разрешения метода регистрации).

Существенно большее разрешение имеет метод отражения света [8], в котором регистрируется отражение видимого ( $\lambda \sim 5000 \text{ \AA}$ ) света от фронта ударной волны в прозрачных средах. Ударный фронт представляет собой тонкую ( $\sim 10^{-6} \text{ см}$ ) границу раздела сжатого и несжатого вещества; в инертных средах исследование отражательной способности фронта ударных волн свидетельствует также об их высокой степени гладкости (зеркальности). Коэффициент отражения света  $R$  от такого фронта соответствует рассчитанному по формулам Френеля.

По изменению картины отражения по сравнению с реперным (отражением от гладкого фронта) можно судить о шероховатости фронта ударной волны. В рамках геометрической оптики правильное (зеркальное) отражение говорит об отсутствии шероховатостей на фронте  $\gg \lambda$  падающего света.

При наличии шероховатостей на фронте, сравнимых с  $\lambda$ , рассмотрение отражения света в рамках волновой оптики [9] приводит к следующей зависимости интенсивности зеркального отражения  $I_{\text{шер}}$  от шероховатости фронта  $\Delta z$ :

$$I_{\text{шер}} = I_{\text{зерк}} \exp(-4k^2 \overline{\Delta z^2} \cos^2 \alpha_0),$$

где  $I_{\text{зерк}}$  — интенсивность отражения от гладкой поверхности;  $\alpha_0$  — угол падения света на ударный фронт.

Уменьшение интенсивности зеркального отражения от шероховатой поверхности сопровождается появлением диффузного отражения.

В зависимости от степени шероховатости характер отражения света и его интенсивность меняются:

1.  $(\overline{\Delta z^2})^{1/2} \ll \lambda/4\pi$  — имеем гладкую поверхность, отражающую по Френелю;

2.  $(\overline{\Delta z^2})^{1/2} \sim \lambda/4\pi$  — наряду с зеркальным появляется диффузное отражение, интенсивность зеркального меньше френелевского;

3.  $(\overline{\Delta z^2})^{1/2} \gg \lambda/4\pi$  — при случайному характере зеркальное отражение экспоненциально мало, отражение практически целиком диффузное.

Когда  $(\overline{\Delta z^2})^{1/2} \sim \lambda/4\pi$ , средний период  $\bar{h}$  шероховатостей вдоль отражающей поверхности определяется как [9]

$$\bar{h} = \text{const} \frac{\int_0^{\lambda} I_{\text{диф}}(x) dx}{\cos \alpha_0 \int_0^{\lambda} I_{\text{диф}}(x) x \cdot dx},$$

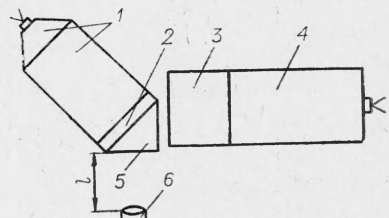
где  $I_{\text{диф}}$  — интенсивность диффузно отраженного света в плоскости падения.

В принципе измерения интенсивности  $I_{\text{шер}}$  и зависимости  $I_{\text{диф}}$  от угла ( $I_{\text{диф}}(x)$ ) дает полную характеристику возмущений на отражающей поверхности. Разрешающая способность метода позволяет установить наличие неоднородностей размером  $\geq 2 \cdot 10^{-6} \text{ см}$ , что вряд ли достижимо другими способами.

Экспериментально исследовалась прозрачная жидкость взрывчатая смесь концентрированной азотной кислоты  $\rho_4^{10} = 1,523 \text{ г/см}^3$  и дихлорэтана  $\rho_4^{20} = 1,257 \text{ г/см}^3$ . На рис. 1 представлена схема эксперимента. Смесь, залитая в кювету (рис. 2, a), контактирует со стеклом, имеющим показатель преломления  $n=1,755$ , заметно отличающийся от показателя преломления ЖВВ ( $n=1,42$ ). Свет, попадая в кювету через щель  $S$ , отражается

Рис. 1. Схема эксперимента.

1 — заряд ВВ с линзой для создания плоской детонационной волны; 2 — алюминиевая кювета; 3 — стакан с аргоном; 4 — заряд ВВ; 5 — призма из оргстекла,  $n=1,47$ ; 6 — объектив СФР.

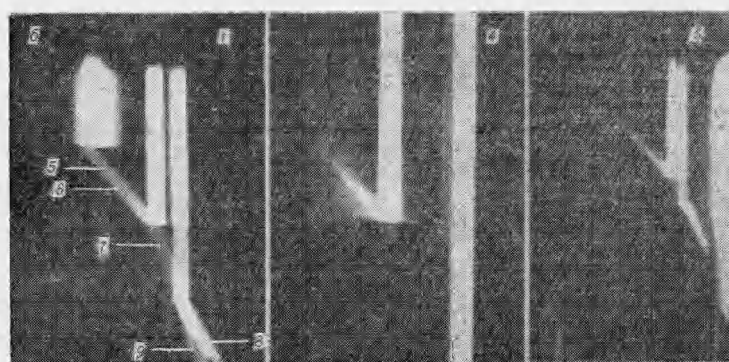
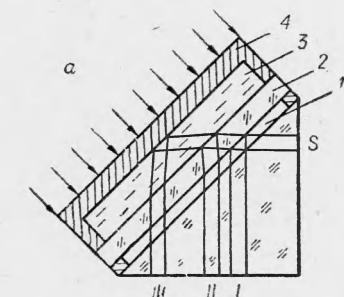


как от неподвижных (рис. 2, a, лучи I, II, III), так и от движущихся (детонационный фронт, ударные волны в инертных прозрачных средах) оптических границ и через вторую грань призмы выходит в направлении объектива фотохронографа.

На рис. 2, б приведена фотохронограмма опыта для смеси 60/40, начальная температура  $-2^\circ$ , инициирующий заряд ТГ 50/50, измеренные скорости детонации  $6,2 \pm 0,1 \text{ км/сек}$ , коэффициент отражения

Рис. 2. Отражение света (I, II, III) от оптических границ:

a) 1 — толуол, 2 — свинцовое стекло, 3 — свинцовое стекло — ЖВВ, 4 — дно алюминиевой кюветы; б) 5 — отражение света от детонационного фронта; 6 — собственное свечение детонационного фронта; 7 — отражение света от ударной волны в стекле ТФ-5; 8 — отражение света от ударной волны, распространяющейся последовательно в толуоле и оргстекле (оптическая граница толуол-оргстекло с относительным показателем преломления  $\sim 1$  практически не отражает); 9 — отражение света от движущейся границы толуол — свинцовое стекло. (Номера кадров соответствуют номерам опытов по таблице).



$R = 1,7 \pm 0,1\%$ , коэффициент отражения же, рассчитанный по показателю преломления  $n$  сжатой смеси (в предположении линейной зависимости  $n$  от  $\rho$ ) и известному показателю преломления перед фронтом, оказался равным 1,6%. Полученные результаты приведены в таблице.

Номер опыта	Состав смеси	Инициирующий заряд, его состав, диаметр и длина (мм)	$d$	$L/d$	$t, {}^\circ\text{C}$	$D, \frac{\text{км}}{\text{сек}}$	$p_x, \text{ кбар}$	$\frac{u_p}{u_{\text{ж}}}$	$I_{\text{шер}} / I_{\text{зерк}}$	$(\Delta z^2)^{1/2}, \mu$	$\bar{h}, \mu$
1	60/40	ТГ 50/50 120×220	100	0,15	-9	6,2	230	1,3	1	<0,02	—
3	60/40	ТГ 50/50 120×220	100	0,15	-20	6,2	230	1,3	0,08	0,090	5,7
4	60/40	ТГ 50/50 120×30	60	6	+5	6,2	220	1	0,06	0,095	5,0
5	30/70	ТГ 50/50 120×220	100	0,15	+15	5,6	170	—	0,27	0,065	6,5
6	75/25	ТГ 50/50 120×220	100	0,15	+8	5,8	200	—	<0,01	>0,12	10,5

Примечание.  $L/d$  — отношение длины заряда ЖВВ к диаметру;  $t$  — начальная температура смеси;  $p_x$  — давление в химпике;  $u_p/u_{\text{ж}}$  — скорость поршня по отношению к скорости ПВ в точке Жуге.

Шероховатость  $(\Delta z^2)^{1/2}$  и ее средний период  $\bar{h}$  определялись исходя из полученной картины отражения (см. рис. 2 и 3).

Полученные экспериментальные данные говорят о том, что фронт ударной волны в детонирующей жидкости не является идеально зеркальным. Не исключено, что в опытах со слегка пересжатой детонационной волной (см. таблицу, опыт 1) фронт шероховат с  $(\Delta z^2)^{1/2} < 0,02 \mu$ , и шероховатости не могут быть обнаружены даже оптическим методом по уменьшению интенсивности отражения. Снижение начальной темпе-

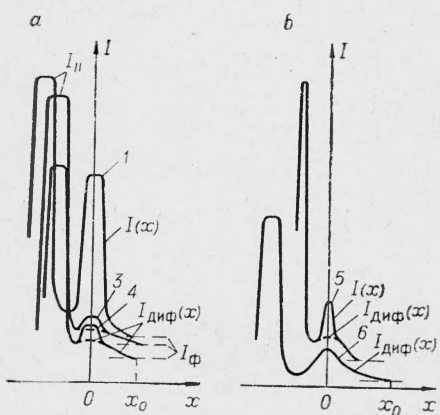


Рис. 3. Микрофотометрический разрез фотографий (см. рис. 2) в момент детонации смеси ЖВВ (обозначения кривых соответствуют номерам опытов по таблице).  $I_{II}$  — интенсивность света, отраженного от реперной границы стекло ТФ-5/ЖВВ;  $I(x)$  — интенсивность света, отраженного от детонационного фронта;  $I_{\text{диф}}(x)$  — интенсивность диффузно отраженного света;  $I_{\text{шер}} = I(x)_{\text{max}} - I_{\text{диф}}(x)_{\text{max}}$ ;  $I_{\text{зерк}} = \text{const} + I_{II}$ ;  $I_{\phi}$  — интенсивность собственного свечения детонации.

ратуры стехиометрической смеси до  $-20^\circ$ , уход от стехиометрии, переход к непересжатой детонации приводят к появлению неоднородностей на детонационном фронте  $(\Delta z^2)^{1/2} \sim 0,1 \mu$ . Разрешающая способность эксперимента не позволяет установить, есть ли в наборе углов  $\alpha = (\Delta z^2)^{1/2} / \frac{1}{2} \bar{h} \sim 1^\circ$  такие, которые могли бы привести к горячим точкам, т. е. к пульсирующей детонации.

В настоящее время возможны две трактовки опытов:

1. Либо мы имеем дело с картиной, в принципе аналогичной той, которая наблюдалась ранее для газовой детонации [4], где в смеси  $C_2H_2 + 2,5 O_2$  минимальный масштаб был (вдоль фронта)  $10^{-2}$  см. Считая этот масштаб обратно пропорциональным плотности, получим  $10^{-5}$  см для конденсированных ВВ, т. е. даже меньше, чем в наших опытах.

Подобные неоднородности на детонационном фронте в конденсированных ВВ не могли быть выявлены фотохронографическим методом [7] из-за его малой разрешающей способности.

2. Либо неоднородности возникают в зоне химической реакции и вызывают неоднородность фронта ударной волны (в силу дозвуковой скорости в области между волной и зоной реакции). Но эта неоднородность фронта не оказывает заметного обратного влияния на реакцию.

Поступила в редакцию  
— 18/X 1968

#### ЛИТЕРАТУРА

1. К. И. Щелкин. ЖЭТФ, 1959, **36**, 600.
2. В. В. Пухначев. Докл. АН СССР, 1963, **149**, 798.
3. Р. М. Зайдель, Я. Б. Зельдович, ПМТФ, 1963, **6**, 59.
4. Ю. Н. Денисов, Я. К. Трошин. Докл. АН СССР, 1959, **125**, 1.
5. Я. Б. Зельдович. ЖЭТФ, 1940, **10**, 542.
6. А. Н. Дремин, Г. А. Агадуров, О. К. Розанов. Докл. АН СССР, 1960, **133**, 1372.
7. А. Н. Дремин, О. К. Розанов. Докл. АН СССР, 1961, **139**, 137.
8. Я. Б. Зельдович, С. Б. Кормер и др. Докл. АН СССР, 1961, **138**, 1333.
9. Я. Б. Зельдович, С. Б. Кормер и др. Докл. АН СССР, 1966, **171**, 65.

УДК 662.215.1

#### О ПЕРЕХОДЕ ГОРЕНИЯ ПОРИСТЫХ ВВ В ДЕТОНАЦИЮ

А. И. Коротков, А. А. Сулимов, А. В. Обменин,  
Б. Ф. Дубовицкий, А. И. Куркин  
(Москва)

Переход горения конденсированных систем в детонацию сравнительно мало изучен. В случае газовых систем прогресс в этой области был достигнут благодаря работам прежде всего советских ученых [1—4], которые внесли существенный вклад в понимание данного явления. Проведение экспериментов по изучению перехода горения в детонацию конденсированных систем вследствие разрушающего действия возникающих при этом высоких давлений связано со значительно большими трудностями, чем аналогичные исследования в газах.

Первые опыты, поставленные с целью выяснения механизма возникновения детонации в конденсированных системах, были выполнены в работах [5, 6]. Значительно позже были опубликованы работы, в ко-